

수화-소성법에 의한 CA_2 클린커의 합성(Ⅰ) : 합성에 미치는 온도의 영향

송태웅* · 한기성

*경남대학교 무기재료공학과

인하대학교 무기재료공학과

(1990년 3월 5일 접수)

Synthesis of CA_2 -based Clinker by Hydration-Burning Method (I).

Effects of Temperature on Synthesis

Tae-Woong Song* and Ki-Sung Han

*Dept. of Inorganic Materials Eng., Kyung Nam Univ

Dept. of Ceramic Eng., Inha Univ.

(Received March 5, 1990)

요약

$CaCO_3$ 와 Al_2O_3 의 혼합물을 1차 소성한 후 그 수화물을 열분해-개가열하여 비표면적과 수화반응성이 매우 큰 CA_2 조성의 클린커를 비교적 저온에서 합성하였다. 이 때 1차 클린커는 過濾 CaO 가 남지 않는 1200°C 이상에서 소성했을 때에만 경화체로 수화되었으며, 1300°C 이상으로 소성온도를 높히는 것은 그의 수화반응성이 감소하여 효과가 없었다. 1차 클린커의 수화물은 치밀한 조직이 되지 않도록 35°C 이상에서 수화시키는 것이 효과적이었다.

클린커 소성중에는 1150°C부터 CA_2 가 생성되기 시작하여 온도가 높아질수록 그 양이 증가하나, 이와 동시에 클린커의 비표면적이 급감하므로 1300°C 이하의 소성이 효과적이었다.

ABSTRACT

CA_2 -based clinker with highly activated surface and hydraulic properties was synthesized at a comparatively lower temperature than that of conventional synthesis by "hydration-burning method". This consists of calcining the mixture of $CaCO_3$ and Al_2O_3 to obtain a primary clinker, hydrating the primary clinker and reburning the hydrates to obtain final clinker.

Burning of primary clinker above 1200°C was necessary to eliminate free CaO in it and to obtain its solid hydrate. However, rising the burning temperature above 1300°C is ineffective due to the decrease in hydraulic properties of the primary clinker with the temperature.

Hydration of primary clinker at the elevated temperature (>35°C) was required to obtain the hydrate with more porous structure and final clinker with more active surface.

CA_2 was formed and increased with temperature at above 1150°C, finally became a primary phase of the final clinker. However, burning at the temperature above 1300°C resulted in reverse effect on the hydraulic

properties of the final clinker due to rapid decrease in its surface area with the temperature.

1. 서 론

CA_2 (C : CaO , A : Al_2O_3)는 지금까지 알려진 水硬性 calcium aluminate 중에서 가장 알루미나 함량이 많고 내화도가 높아¹⁻⁴⁾ 고내화도용 HAC(high alumina cement)의 주성분으로서 CA보다 매우 유리한 조성의 광물이다. 그러나 이의 수화반응성이 너무 느리기 때문에 보통의 HAC는 CA를 수화성 주광물로 하고 클린커 분쇄시에 거의 등량까지의 α -알루미나를 혼합하는 방법으로 A/C비와 내화도를 높히고 있으며, 이 때 적정의 수화강도를 유지하기 위해서 시멘트 중의 총 알루미나 함량을 약 80%정도로 제한하고 있다⁵⁻⁸⁾. 따라서 광물 자체의 조성만으로도 알루미나 함량이 78%를 넘는 CA_2 의 수화반응성을 적당한 방법으로 촉진시킨다면 내화시멘트로서의 활용성은 매우 클 것으로 기대된다.

이러한 CA_2 의 활성화 방안으로 반응성 첨가제의 사용, 미분쇄 등의 방법이 소수 제안되고는 있으나 첨가제의 효과에 대해서는 아직도 결해가⁹⁻¹¹⁾ 엇갈리는 실정이며 클린커 미분쇄의 효과에도 한계성이 따르게 되므로 보다 근본적인 다른 방법을 모색할 필요가 있다.

본 연구에서는 $CaCO_3$ 과 Al_2O_3 를 조합하여 遊離 CaO 가 남지 않을 정도의 온도에서 소성한 1차 클린커(primary clinker)를 수화시킨 후 그 경화체를 열처리-재가열하는 방법(이하 수화-소성법이라 칭함)으로 활성이 큰 CA_2 조성의 클린커를 비교적 저온에서 합성할 수 있었다. 합성과정에서 1차 클린커의 수화물을 열분해 결과 비표면적이 매우 큰 분해생성물이 되며, 이들은 내화물용으로 제조된 HAC 수화물을 가열할 때와 마찬가지로 일반적인 합성온도보다 훨씬 낮은 온도에서 calcium aluminates가 재합성되었고, 이 클린커는 일반적인 방법으로 합성한 클린커에 비하여 비표면적이 매우 큰 미세다공성의 solid agglomerate¹²⁾로서 그 괴분쇄성과 수화반응성이 크다는 것을 확인할 수 있었다.

본 연구에서는 1차 소성, 수화, 재합성에 이르는 각 과정에서의 온도변화가 광물상과 미구조에 미치는 영향을 구명하여 수화-소성법으로 CA_2 위주의 활성화 클린커를 합성하기 위한 1차 소성온도, 수화온도 및 클린커소성온도의 최적 범위를 구명코자 하였다

2. 실험 방법

시약 1급의 Al_2O_3 와 $CaCO_3$ 를 A/C 몰비 2가 되도록 조합한 후 소량의 중류수를 넣어 적경 약 1cm의 pellet를 만들고 이의 전조물을 1000-1400°C까지의 각기 다른 온도에서 가열, 30분씩 유지한 후 굽냉하여 1차 클린커를 만들었다. 이를 74μm 정도로 분쇄한 후 W/C=0.7이 되도록 중류수와 혼합하여 10°C 및 40°C의 항온항습기에서 24시간 수화시켜 1차 클린커 수화물을 만들었으며, 이때 얻어진 경화체를 적경 1cm 정도로 조쇄. 공기건조한 후 진기로에서 150°C/min의 송온속도로 1000-1400°C사이의 각각 다른 온도까지 가열, 굽냉하여 여러가지 2차 클린커를 힙성하였다.

이와 같이 제조한 각종 1차 클린커와 2차 클린커들을 74μm 이하의 입도로 분쇄한 후 X-선 회절 분석으로 광물상을 조사하였으며 1차 클린커, 그의 수화물 및 수화물을 가열하여 얻은 여러가지 시료에 대해 SEM, BET surface area analysis 및 mercury intrusion porosimetry를 실시하여 미구조의 특성을 관찰하였다. 이때 수화물에 대해서는 일정수화기간이 지난 다음 아세톤에 침적, 진공건조하여 수화를 중단시킨 후 시료로 사용하였고 BET 비표면적 측정은 약 74μm 정도의 균일한 입도로 분쇄한 시료를 사용하였다. 또한 일정기간 수화시킨 각종 1차 클린커 및 2차 클린커의 수화물을 TG와 DTG(derivative TG)로써 수화수량을 측정하고 수화상을 동정하였으며, 일부 클린커에 대해서는 microcalorimeter로 수화발열특성을 확인하였다.

3. 결과 및 고찰

3.1. 1차 클린커 소성온도의 영향

각 온도에서 열처리 한 1차 클린커 중의 광물 생성 상태를 X-선 회절 분석 peak의 강도로 비교하여 Table 1에 나타내었다. 1차 클린커는 1000-1400°C의 전 온도범위에서 CA_1 , CA_2 및 alumina의 혼합물로 구성되었으며 $C_{12}A_7$ 은 생성되지 않았다. 한편 遊離 CaO 가 1100°C까지 존재하였는데, 이러한 1차 클린커의 수화시에는 다양한 $Ca(OH)_2$ 가 생성되어 응결이나 경화현상이 일어나지 않았으며, 본 연구에서는 경화체의 가열변화를 이용하여 최

Table 1. Mineral Composition of Primary Clinker
Measured by Relative Peak Intensity of
XRD with Various Burning Temperature.

Burning Temp. (°C)	CaO	CA	CA ₂	Al ₂ O ₃
1000	Xv	X	-	XXXXv
1100	X	XX	-	XXXX
1200	-	XXX	X	XXX
1300	-	XXX	XXv	Xv
1400	-	XXv	XXXX	X

v : very very weak, X : very weak, XX : weak,

XXX : medium XXXX : strong

종 클린커를 얻는 것이 목적이므로 1차 클린커 소성온도는 이 온도 이상이어야 힘을 알 수 있다.

한편 1200°C 이상에서 제조한 1차 클린커를 동일한 조건으로 수화시킨 후 TG로 수화수량을 측정한 결과(Fig. 1)에 따르면 1차 클린커의 수화성은 1200°C보다 1300°C 소성시에 더 증가하고 1400°C에서는 오히려 감소하는 경향을 보았다. 그동안 보고된 수화반응식^{9-11,13,14)}의 stoichiometry에 따르면 어느 온도에서나 CA 보다 CA₂의 수화에 더 많은 결합수를 필요로 하기 때문에, CA₂의 생성량이 더 많은 시료에서 수화수량이 감소된 것은 수화성의 감소를 의미한다. 따라서 1400°C 소성시에 증가한 CA₂는 수화성이 약한 상태의 것임을 알 수 있으며, 이와 동시에 고려할 수 있는 것은 Fig. 2에 나타낸 바와 같이 소성온도의 증가에 따라 1차 클린커의 비표면적이 감소한다는 것이다. 이는 calcium aluminates의 수화 메카니

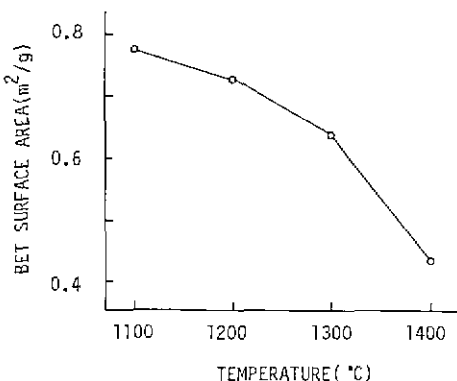


Fig. 2. BET surface area of ground primary clinker (74 μm) with various burning temperature.

즘¹⁵⁻¹⁷⁾이 용해-석출 과정이기 때문에 비표면적의 감소는 수화의 초기 용해를 빠르하게 할 뿐만 아니라 표면구조상 미수화 입자가 초기수화물로 퇴마되기도 쉬워 수화를 자연시키는 요인이 될 것이다. 이상의 결과로 부터 1차 클린커 소성온도 범위는 1200-1300°C가 유리함을 알 수 있다.

3.2 수화온도의 영향

1차 클린커의 수화생성물은 그동안 보고^{9-11,18)}된 calcium aluminate hydrates의 분해 온도, peak의 형태 및 보조 실험을 기초로 하여 Fig. 3과 같이 DTG로부터 확인하였다. 그 결과 수화생성물은 대개 alumina gel, CAH₁₀, C₂AH₈, AH₃ 및 C₃AH₆로 구성되어 있었으며 10°C 수화물에서는 alumina gel과 CAH₁₀이 주수화상을 이루는 반면

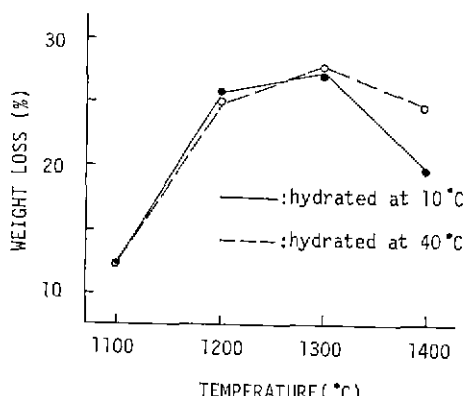


Fig. 1. Weight loss of hydrated primary clinker after heating to 550°C with burning temperature (W/C=0.7, 24hrs).

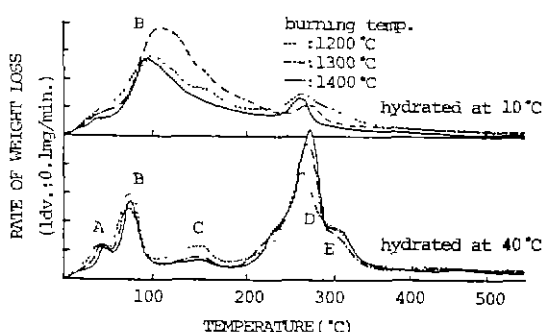


Fig. 3. DTG curves of hydrates prepared at different temperature from various primary clinkers (Each peak reveals wt. loss by decomposition of alumina gel(A), CAH₁₀(B), C₂AH₈(C), AH₃(D) and C₃AH₆(E)).

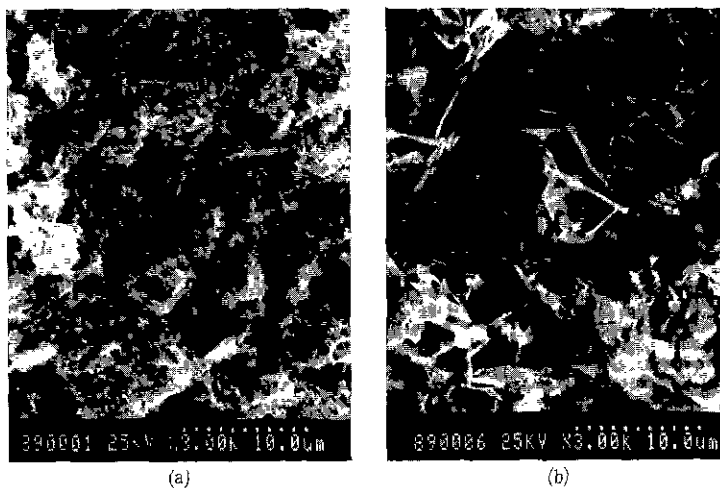


Fig.4. SEM micrographs of fracture surface of hydrates prepared with $W/C=0.7$ for 24hrs at (a) 10°C and (b) 40°C from primary clinker burnt at 1200°C .

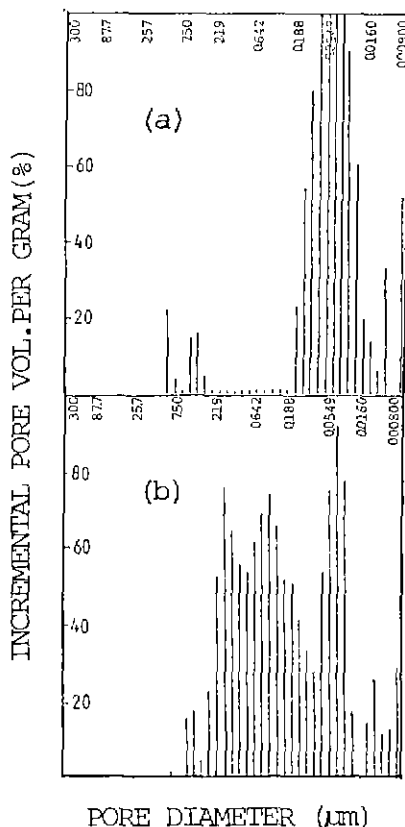


Fig.5. Incremental pore volume-pore diameter diagram of hydrates prepared with $W/C=0.7$ for 24hrs. at (a) 10°C and (b) 40°C from primary clinker burnt at 1200°C .

40°C 수화에서는 CAH_{10} 이 급격히 줄고 AH_3 와 C_3AH_6 가 주수화상을 이루고 있었다. 이렇게 수화온도에 따라 수화생성물이 달라지기 때문에 10°C 와 40°C 에서 24시간 수화시킨 두 경화체의 파단면을 주사전자현미경으로 관찰 (Fig.4) 하였다. 여기에서 볼 수 있듯이 10°C 수화물에서는 alumina gel과 CAH_{10} 의 치밀한^{10,19)}조직만을 이루고 있으나 40°C 수화물에서는 AH_3 의 판상결정으로¹⁰⁾ 인해 전체의 구조가 bulky하고 그 구조의 모세관 공극에 calcium aluminate hydrate와 alumina gel로 보이는 미세조직이 풀고투 분산된 다공성의 구조를 하고 있다. 이 때 mercury intrusion porosimeter로 기공의 분포를 알아본 결과 (Fig.5), 10°C 수화물에는 $0.01\text{--}0.1\mu\text{m}$ 의 pore가 많은 데 비하여 40°C 의 수화물은 이것이 다소 줄고 $0.1\text{--}3\mu\text{m}$ 사이의 pore가 급증되어 있어 두 종류의 pore중 작은 것은 치밀한 조직 내에 존재하는 것이고, 큰 것은 고온수화시에 나타나는 판상조직 중의 capillary pore로 해석된다. 이는 SEM 사진 중에서도 실측되고 있으며 일반 HAC의 사용시 수화온도가 높을수록 통기율과 내폭열성이 향상된다는 보고¹⁰⁾는 경화체 내에 이러한 큰 pore가 형성되기 때문이다. 한편 이들 두가지 수화물의 BET 비표면적 (m^2/g)의 측정 결과 (Fig.6)는 10°C 수화시에 3.07, 40°C 수화시에 3.19로서 별 차이를 나타내지 않았다. 그러나 이를 500°C 까지 가열하여 대부분의 수화수가 분해된 후에는 각각 10.25와 70.55로 크게 증가하면서 두 시로간에 큰 차이를 나타내었다. 이 값은 가열온도가

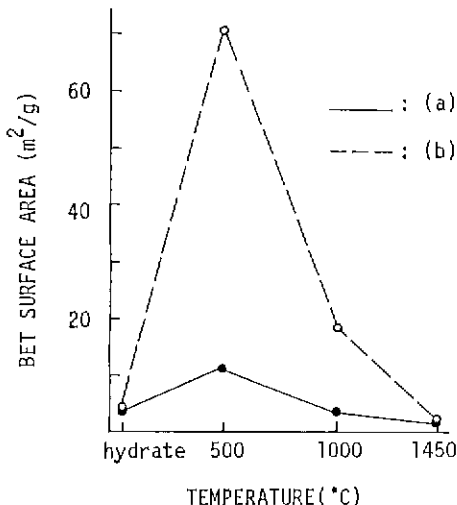


Fig. 6. Changes in BET surface area on heating the hydrates prepared with $W/C=0.7$ for 24hrs at (a) $10^{\circ}C$ and (b) $40^{\circ}C$ from primary clinker burnt at $1200^{\circ}C$.

높아짐에 따라 다시 급감하였는데 $1000^{\circ}C$ 이상의 전 온도 구간에서 $40^{\circ}C$ 수화시료의 비표면적이 $10^{\circ}C$ 의 경우보다 높은 값(2~5배)을 나타냄으로서 수화-소성법으로 비표면적이 큰 클린커를 얻고자 하는데는 저온수화보다 고온수화가 유리함을 알 수 있다. 이처럼 최종 클린커의 비표면적이 1차 클린커의 수화온도에 따라 크게 달라지는 것은 수화상이나 pore의 종류와 구성상태 등에 따라 경화체가 열분해시의 내부 수증기압^[15]과 분해생성물의 양상 및 재결합시의 거동이 달라지기 때문일 것이다.

3.3. 클린커 소성온도의 영향

C-A계 수화물의 가열에 따른 열분해와 광물상의 변화는 내화물용 HAC의 열적 성질 평가와 관련되기 때문에 많은 보고^[9-11,18,20,21]가 이루어져 있고, 본 실험과정에서의 클린커 소성시에도 이들과 거의 동일한 과정을 보였다. 우선 Fig. 3의 DTG 결과와 같이 1차 클린커 수화물의 가열 중에는 alumina gel 중의 약한 결합수의 탈수를 비롯하여 CAH_{10} , C_2AH_8 , AH_3 및 C_8AH_6 의 탈수가 차례로 이어지고 분해 중간에 생성된 소량의 AH와 CH의 탈수를 마지막으로 하여 $550^{\circ}C$ 정도에서 모든 중량감소가 종료되었다. 한편 HAC 경화체의 경우 이들 수화상은 열분해 직후에 $C_{12}A_7$, CH, AH, 고반응성 비정질 알루미나 및 CaO 등이 되며 이들은 온도의 상승에 따라 비교적 저온부터 반응하여 calcium aluminate로 재합성되기 때문에 수화

Table 2. Mineral Composition of Clinkers* Measured by Relative Peak Intensity of XRD with Various Burning Temperature.

Burning Temp. ($^{\circ}C$)	$C_{12}A_7$	CA	CA_2	Al_2O_3
500	X	-	-	XXX
700	XXXX	-	-	XXX
950	XXX	v	-	XXX
1100	X	XXX	X	XX
1200	-	X	XXXX	X
1350	-	v	XXXXX	v
1450	-	-	XXXXX	-

v : very very weak, X : very weak, XX : weak,

XXX : medium, XXXX : strong, XXXXX : very strong

* obtained by burning the hydrates prepared from $1200^{\circ}C$

— : burnt primary clinker at $40^{\circ}C$

수의 분해 직후부터 $C_{12}A_7$ 의 생성량은 증가하고 $1000^{\circ}C$ 가 되기 전에 이미 CA 및 CA_2 의 생성도 시작되는 것으로 알려져 있다^[9,10,14,20]. 본 실험에서도 Table 2의 XRD 결과와 같이 $500^{\circ}C$ 부터 $C_{12}A_7$ 의 peak가 확인, 점차로 증가되었고 $950-1000^{\circ}C$ 부근에서는 CA가, $1100^{\circ}C$ 부근에서는 CA_2 가 생성되었는데 1차 클린커의 수화온도에 따른 영향은 별로 나타나지 않았다. 이 때 $C_{12}A_7$ 의 peak는 대체적으로 CA peak의 증가에 따라 급감하고 그 후 CA의 peak와 1차 클린커 중에 남아있던 α -알루미나의 peak는 CA_2 peak의 증가에 따라 급감하여 결국 $1200^{\circ}C$ 이상 가열한 클린커의 광물상은 CA_2 를 주광물로 하고 여기에 소량의 CA와 α -알루미나가 잔존하게 되었으며, 이 잔존량은 가열온도가 높을수록 감소하여 $1450^{\circ}C$ 이상부터는 XRD상 CA_2 단독의 peak만이 확인되었다.

이와 같이 최종 클린커의 소성온도가 높아질수록 CA_2 의 생성량은 많아지지만 Fig. 6과 같이 클린커의 비표면적이 급격히 감소하고 CA_2 의 결정성도 증가하여 수화반응성은 차츰 감소할 것이다. 이의 확인을 위해 각기 다른 온도에서 소성한 클린커를 동일한 조건으로 수화시킨 후 TG로 수화수량을 측정한 결과, Fig. 7과 같이 $1250^{\circ}C$ 에 소성한 클린커를 중심으로 수화율이 가장 큰 것으로 나타났다. 이상의 결과로 부터 클린커의 소성온도는 $1200-1300^{\circ}C$ 사이가 적당함을 알 수 있는데 이와 같이 어느 온도 이상의 고온소성시에 클린커의 반응성이 다시 감소하는 것은 열분해를 통해 agglomerate 형태로 얼어지는 calcium aluminate 계 클린커, 특히 조합물의 A/C 몰비가 1이상인

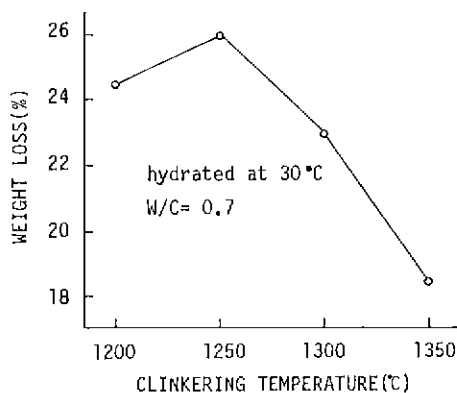


Fig. 7. Weight loss of hydrates of various clinker prepared from 1200°C - burnt, 40°C - hydrated primary clinker, after heating to 550°C with clinkering temperature.

경우의 큰 특징이라고 생각된다.

3.4. 클린커의 특성

앞의 실험결과에 따라 1차 클린커 소성온도 1300°C, 1차 클린커의 수화온도 40°C, 최종 클린커의 소성온도 1250°C를 택하여 수화-소성법으로 제조한 클린커는 CA₂를 주광물로 하여 여기에 소량의 미반응 알루미나와 CA가 함유된 광물구성을 하고 있으며 이의 X-선 회절분석결과는 Fig.8과 같다. 이 클린커의 파단면은 Fig.9의 주사전자현미경 사진과 같이 1차 클린커 수화물의 morphology

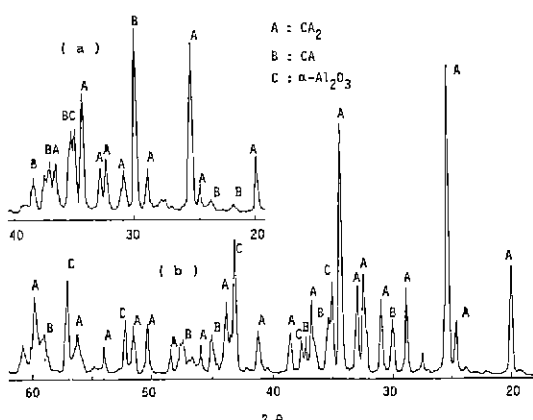


Fig. 8. XRD pattern of primary clinker (a) and CA₂-based clinker synthesized by hydration-burning method with primary burning, hydration and clinkering temperature of 1300°C, 40°C and 1250°C respectively (b).

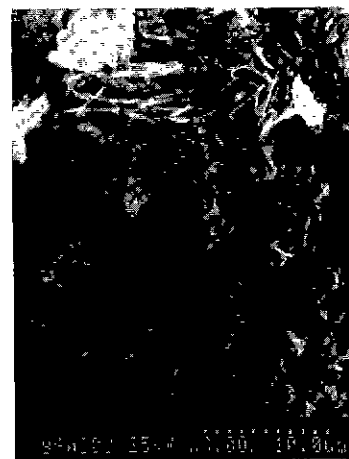


Fig. 9. SEM micrograph of fracture surface of CA₂-based clinker synthesized by hydration-burning method with primary burning, hydration and clinkering temperature of 1300°C, 40°C and 1250°C respectively.

(Fig.4참조)를 반영하는 solid agglomerate를 나타내고 있으며 이를 74μm 정도로 분쇄한 후의 BET 비표면적은 6.3m²/g의 높은 값으로 측정되었다. Fig.10에는 microcalorimeter를 사용하여 측정한 수화발열곡선을 나타내었는데 여기서 비교시험을 위하여 재래식 고온반부속으로 합성한 CA 및 CA₂의 수화발열곡선과 비교해볼 때 본 연구의 수화-소성법으로 합성한 CA₂의 수화반응성이 매우 활성화되어 있음을 알 수 있다.

4. 결 론

CaCO₃와 Al₂O₃의 조합물을 1차 소성하고 그 수화물을 재소성하여 합성한 CA₂조성의 클린커는 비표면적이 매우 큰 미구조를 갖고 CA₂ 외에 소량의 CA 및 α-알루미나가 함유된 상태로서 그 수화반응성이 매우 활성화되어 있었으며 이의 합성에 미치는 온도의 영향을 검토하여 다음과 같은 결과를 얻었다.

1) 1차 클린커의 소성온도는 1200-1300°C가 적당하며 이보다 낮은 온도에서는遊離 CaO 가 남아 경화체를 얻을 수 없고 높은 온도에서는 저활성 CA₂의 증가와 치밀화에 따라 1차 클린커의 수화성이 다시 감소한다.

2) 중간수화물의 미구조는 클린커의 미구조에 큰 영향을 미치며 비표면적이 큰 클린커를 얻기 위해서 1차 클린

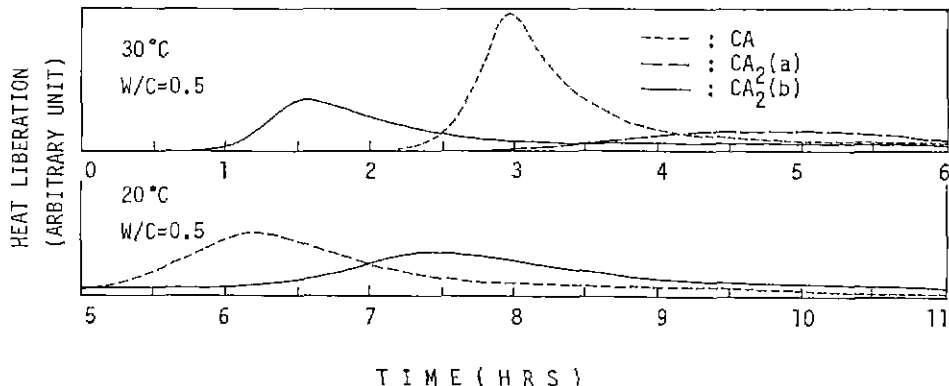


Fig.10. Curves of heat liberation by hydration of calcium aluminates at different temperature Note CA₂(a) showing no peaks at 20°C within 11 hours(CA, CA₂(a) : Synthesized by conventional method, CA₂(b) : Synthesized by hydration-burning method)

커의 수화는 AH₃, C₃AHH₆의 생성이 유리한 고온수화(>35°C)가 저온수화(<15°C) 보다 효과적이다

3) 클린커 중의 CA₂는 1200°C부근 부터 주광물로 생성되어 소성온도가 높아질수록 그 양이 증가하나, 이와 동시에 클린커의 비표면적과 활성이 금격히 감소하므로 클린커 소성온도는 1300°C를 넘지 않는 것이 좋다

REFERENCES

- R.W. Nurse, J.H. Welch, A.J. Majumder, "System CaO-Al₂O₃ in a Moisture-free Atmosphere", *Trans. Brit. Ceram. Soc.*, **64** (9) 409-18 (1965).
- F.M. Lea, C.H. Desch, *The Chemistry of Cement and Concrete*, 2d ed., p.52. Edward Arnold & Co., London (1956).
- A. Auriol, G. Hauser, J.G. Wurm, Phase Diagrams for Ceramists, *Am. Ceram. Soc. Inc.*, (1964) Fig.232
- M. Rolin, Pham Huu Thanh, "Phase Diagrams of Mixtures that are Nonreactive with Molybdenum", *Rev. Hautes Temp. Refractaires*, **2** (2) 175-79 (1965).
- C.M. George, R.P. Racher, "Process Control and Quality Assurance of Calcium Aluminate Cements", *Ceram Eng. Sci. Proc.*, **9** (12) 91-104 (1988).
- Specification—SECAR 80, Lafarge Fondu International (1984).
- Specification—DENKA High Alumina Cement Super, Denki Kagaku Kogyo K.K (1984).
- Specification—CA-25 Regular, Alcoa (1984).
- C.M. George, "Industrial Aluminous Cements", p.415 in *Structure and Performance of Cements*, Applied Science Publishers, London (1983).
- Akira Nishikawa, *Technology of Monolithic Refractories*, Toppan Printing Co., Ltd. (1984).
- K.M. Parker, J.H. Sharp, "Refractory Calcium Aluminate Cement", *Trans. J. Brit. Ceram. Soc.*, **81** (2) 29-56 (1982).
- G.Y. Onoda, Jr., L.L. Hench, "Physical Characterization Terminology", p.35 in *Ceramic Processing Before Firing*. John Wiley & Sons, Inc., New York (1978).
- R. Turriziani, "The Calcium Aluminates Hydrates and Related Compounds", *The Chemistry of Cements*. 1, p.233 Academic Press, London (1964).
- T.D. Robson, *High Alumina Cement and Concretes*, John Wiley & Sons, Inc., New York (1975).
- P. Barret, D. Menetrier, D. Bertrandie, "Contribution to the Study of the Kinetics Mechanism of Aluminous Cement Setting", (1975).

- Laten Periods in Heterogeneous and Homogeneous Mediums and the Absence of Heterogeneous Nucleation", *Cem. Concr. Res.*, 4 (4), 545-56 (1974).
16. P. Barret, D. Bertrandie, "Solubility of CA and Partially Dehydrated CAH_{10} in Water", *Int. Congr. Chem. Cem.*, 7th, 3 (V), 134-39, Editions Septima, Paris (1980).
17. Kinjiro Fujii, Wakich Kondo, Hisahiro Ueno, "Kinetics of Hydration of Monocalcium Aluminate", *J. Am. Ceram Soc.*, 69 (4) 361-64 (1986).
18. R.E. Farris, J.S. Masaryk, "Mineralogy of Curing and Drying of a Refractory Concrete", *Ceramic Processing Before Firing.*, p.277, John Wiley & Sons, Inc., New York (1978).
19. Y. Halse, P.L. Pratt, "The Development of Microstructure in High Alumina Cement", *Int. Symp. Chem. Cem.*, 8th, 4, 317-21 (1986).
20. Kornert, W., Refractory Concrete, ACI Publication SP-57-6 p.105 (1978).
21. Delbert E. Day, Gordon Lewis, "Quantitative Thermogravimetry of Calcium Aluminate Compounds and Cements After Hydrothermal Treatment", *Ceram. Bull.*, 58 (4), 441-47 (1979).